

الفصل الرابع: سبائك الحديد الشائعة (الفولاذ و الحديد الزهر)

1. تمهيد: يعتبر الفولاذ و حديد الزهر من المواد المعدنية الأكثر إستعمالا في مجالات كثيرة (الصناعة، التعدين، الميكانيك، الزراعة،...إلخ) و الأكثر شيوعا. لذلك إرتأينا أن نقوم في هذا الفصل بإبراز خصائص كل منها.

2. الفواليذ :les-aciers

يعد الحديد من المعادن المعروفة منذ زمن طويل، حيث تم استخراجه و إستعماله منذ مئات السنين. لكن إنتشار الفواليذ بدأ من القرن التاسع عشر إنطلاقا من الفواليذ الكربونية (تمثل 90% من إنتاج الفواليذ). ثم ظهرت مجموعة من أنواع الفواليذ السبائكية: الفواليذ المسبكة قليلا (تحتوي على 5% من الكروم، النيكل...إلخ) و الفواليذ الصلبة للآلات (pour outillage) (مشووبة بكثرة بالكروم، الموليبدين، التنغستن، فانديوم و الكوبالت).

نحن نعلم حتى الآن التحولات التي تطرأ على الفواليذ و البني المجهرية التي تتولد. في هذا الفصل نحاول جمع هذه المعلومات و نبرهن كيف نستعملها و نضفي على الفواليذ خصائص ميكانيكية معروفة.

من جهة أخرى يعتبر الكربون من العناصر الأقل تكلفة و الأكثر فعالية من أجل تقسيمة الحديد، و كما نعلم أيضا أن الكربون يضاف إلى الحديد بنسب متغيرة من 0.04% إلى 4% من أجل فواليذ ضعيفة أو متوسطة أو قوية لنسب الكربون، الخصائص الميكانيكية تتعلق في نفس الوقت بنسب الكربون و المعالجة الحرارية.

1.2. الفواليذ الكربونية:

1.1.2: البنى المجهرية الناتجة عن التبريد البطيء (Normalisation)

الفواليذ الكربونية يتغير شكلها عند درجات الحرارة العالية (عموما تكون مصفحة). ثم تبرد ببطء حتى درجة حرارة الوسط (normalisés). البنية المجهرية توجد بالقرب من وضع الإتزان الذي يظهر مباشرة في الشكل (1-4) (بيان 1-4) (Fe-C).

الجدول-1- يبين قائمة الأطوار للنظام $Fe-Fe_3C$ و الجدول-2- يبين البني الأوتكتيكية و الأنكتويدية التي يمكن أن تظهر بالتبريد البطيء.

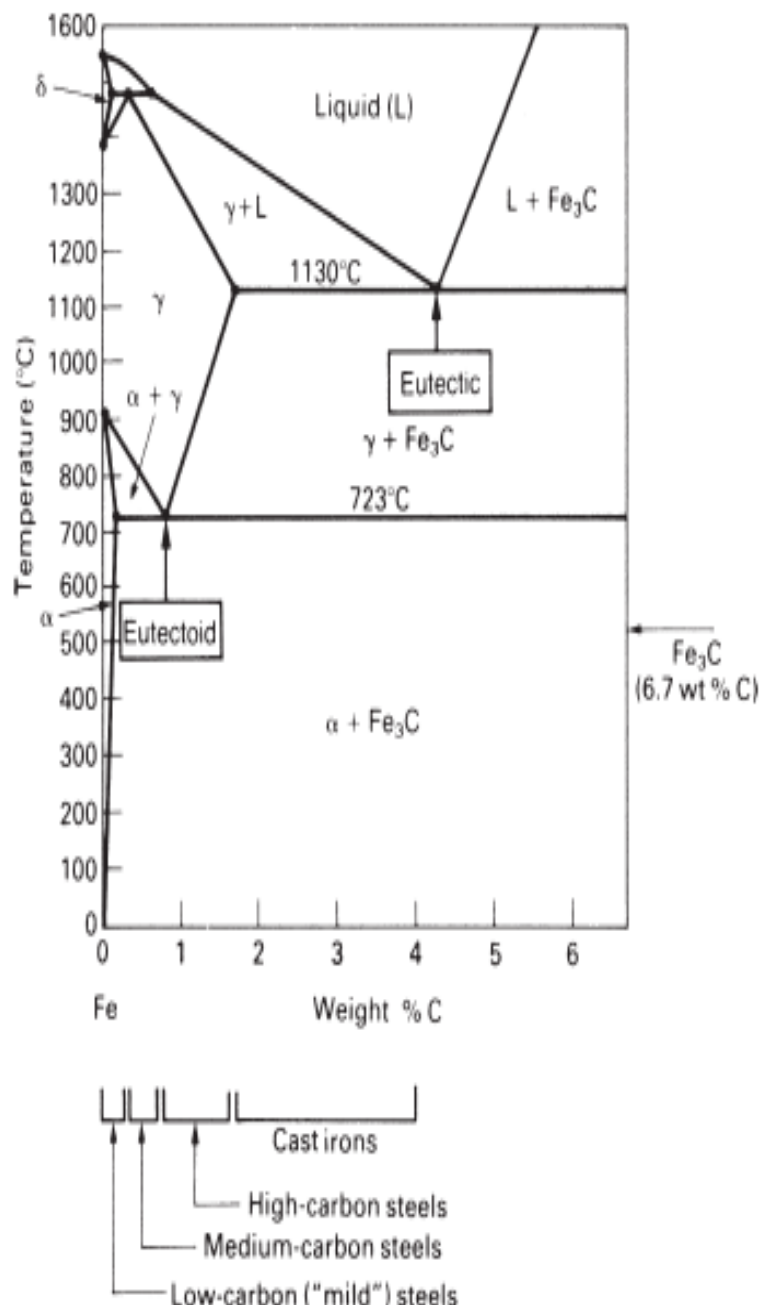


fig. (4-1) The left-hand part of the iron–carbon phase diagram. There are five phases in the Fe–Fe₃C system: *L*, δ , γ , α and Fe₃C (see Table 11.1).

الشكل 1-4

الجدول-1- أطوار النظام Fe-Fe₃C

الطور السائل	البنية	وصف و تفسيرات محلول صلب للكربون C في الحديد Fe
δ	C.C	محلول صلب إنغراسي غير مرتب للكربون في الحديد C.C. الذوبانية القصوى في درجة الحرارة °C 1492 هي 0.08% (وزنا). الحديد δ هو الطور المستقر للحديد النقي بين درجتي الحرارة 1319 و °C 1536.
γ (الأوستينيت)	C.F.C	محلول صلب إنغراسي غير مرتب للكربون في الحديد C.F.C. الذوبانية القصوى في درجة الحرارة °C 1130 هي 2.1% (وزنا). الحديد γ هو الطور المستقر للحديد النقي بين درجتي الحرارة 914 و °C 1391.
α (الفريت)	C.C	محلول صلب إنغراسي غير مرتب للكربون في الحديد C.C. الذوبانية القصوى في درجة الحرارة °C 723 هي 0.035% (وزنا). الحديد α هو الطور المستقر للحديد النقي تحت °C 910.
Fe ₃ C	معدن	مركب كيميائي معرف بالحديد و الكربون في الحديد و الكربون، صلب و سريع الكسر، يحتوي على 25 at% (6.67% وزنا) من الكربون.

الجدول-2- البنى ثنائية الطور المعقدة التي تظهر عند التبريد البطيء للسبائك Fe-C.

إسم البنية	وصف و تفسيرات
برليت Perlite	بنية معقدة أوكتوكربيدية تتكون من صفائح من α بالتناوب مع صفائح Fe ₃ C ناتجة عند تبريد الطور γ ب 0.77% (وزنا) من الكربون تحت °C 723. البرليت يظهر في حدود حبيبات (Joints de grains) الطور γ. وهو يظهر في الفواليد بجميع نسب الكربون و في بعض الحالات غير الإعتيادية يدعى طور، إذا قمنا بمزج الطورين α و Fe ₃ C ب 88.5% و 11.5% من Fe ₃ C، الحبيبات مبدئيا متعددة البلورات (monocristal austenite)، من الخطأ التكلم عن حبيبات (grains) البرليت: نقول تشكل (colonies).
Ledèburite	بنية معقدة أوكتوكربيدية تتكون من صفائح من γ متناوبة مع صفائح Fe ₃ C توجد عند التبريد °C 1130 لسائل على 4.3% (وزنا) من الكربون. هو أيضا ليس طور الليديبوريت (lédeburite) يظهر عند تبريد حديد الزهر. و كذلك في هذه الحالة الطور γ للديبوريت تحت °C 723 يتتحول . Fe ₃ C +α

الأشكال من (2-4) لغاية (4-6) توضح الإرتباط، بدلالة نسبة الكربون مع البنية المجهرية بدلالة درجة الحرارة، الشكل (2-4) يوضح الحالة الحدودية للحديد النقي. أين الطور γ يبرد تحت درجة حوالي °C 914، حبيبات الطور α تظهر عند الحدود البنية (ausc joints) و البنية تتحول إلى الطور α. إذا قمنا بتبريد فولاذ بتركيب أوكتوكربيدي (C 0.77%) تحت درجة حرارة حوالي °C 723 حبيبات البرليت (Perlite) تنمو عند حدود الحبيبات (شكل 4-3) و البنية المجهرية تصبح كليا برليت.

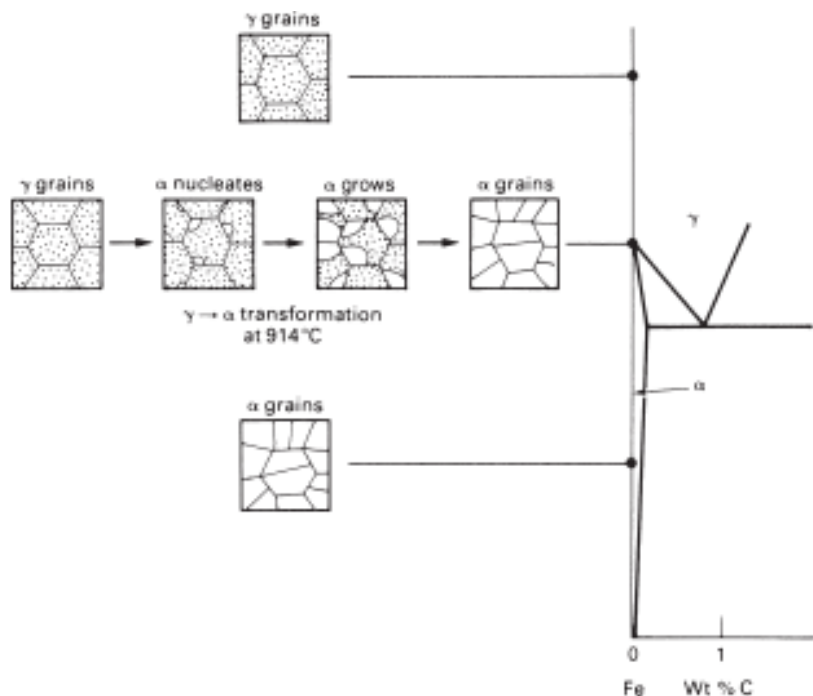


fig. (4-2) Microstructures during the slow cooling of pure iron from the hot working temperature.

الشكل 2-4

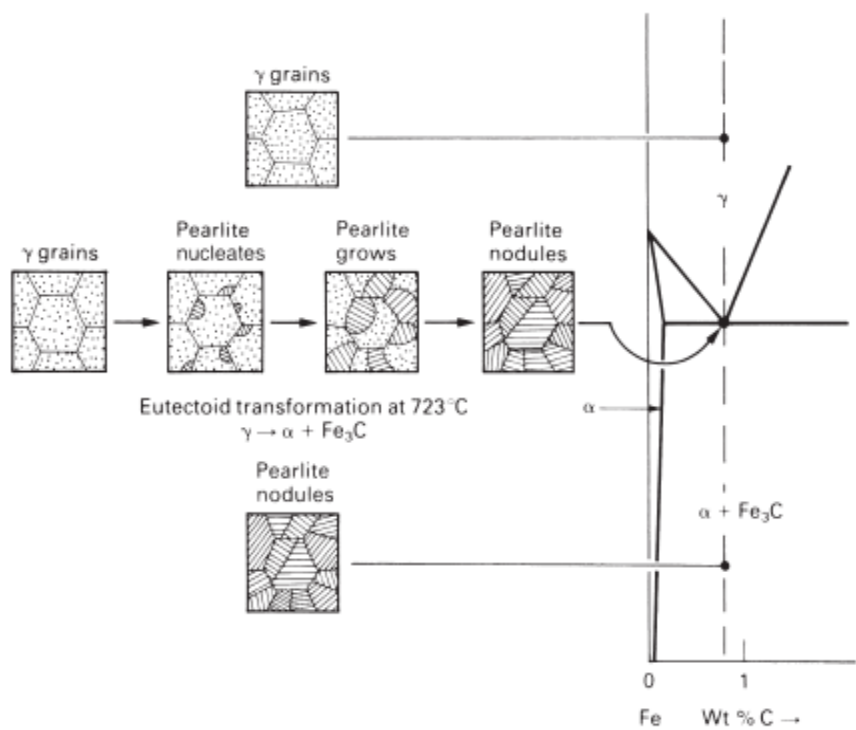


fig. (4-3) Microstructures during the slow cooling of a eutectoid steel from the hot working temperature. As a point of detail, when pearlite is cooled to room temperature, the concentration of carbon in the α decreases slightly, following the $\alpha/\alpha + Fe_3C$ boundary. The excess carbon reacts with iron at the $\alpha-Fe_3C$ interfaces to form more Fe_3C . This "plates out" on the surfaces of the existing Fe_3C plates which become very slightly thicker. The composition of Fe_3C is independent of temperature, of course.

الشكل 3-4

في حالة فولاذ هبط أوتكتويد (يحتوي على أقل من 0.77 % من C) : γ يتحول إلى المجال ثنائى الطور ($\alpha + \gamma$) شكل (4-4). الطور α الإبتدائي يظهر على حدود γ و ينمو أول بأول. و بقياس الفولاذ المبرد من A_3 حتى A_1 فعند A_1 الطور γ يبقى (التركيب الأوتكتويدى). يعطى ضرورة البرليت، البنية المجهرية إذن تتشكل من α (أولى) و البرليت، في حالة الفولاذ الفرط أوتكتويدى (أكثر من 0.77 % من C) ، إذن البنية في درجة الحرارة العادية تتشكل من Fe_3C أولى و برليت شكل (5-4). الشكل (4-4) يوضح الاطوار المتواجدة و نسبتها الكتالية المئوية بدلالة تغير تركيز الكاربون عند درجة حرارة الغرفة.

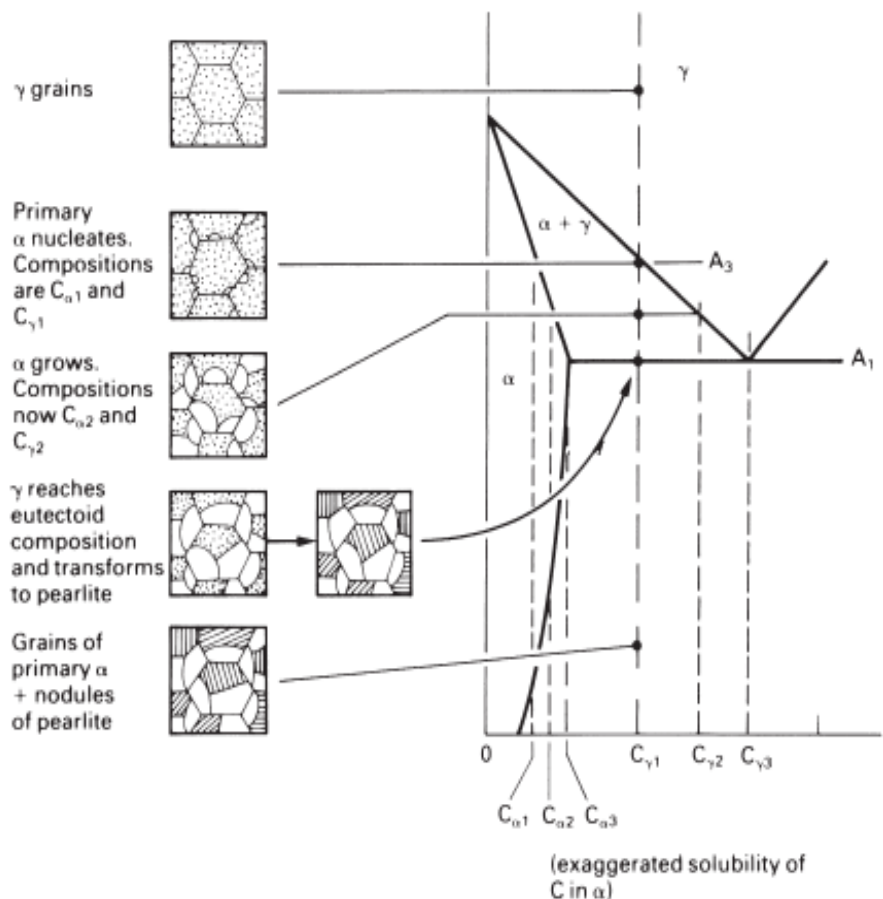


fig. (4-4) Microstructures during the slow cooling of a hypoeutectoid steel from the hot working temperature. A_3 is the standard labelling for the temperature at which α first appears, and A_1 is standard for the eutectoid temperature. Hypoeutectoid means that the carbon content is below that of a eutectoid steel (in the same sense that hypodermic means "under the skin"!).

الشكل 4-4

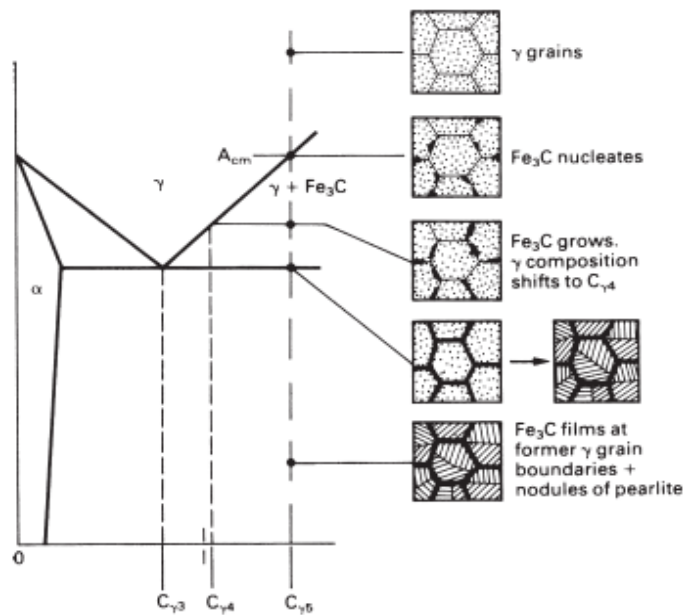


fig. (4-5) Microstructures during the slow cooling of a hypereutectoid steel. A_{cm} is the standard labelling for the temperature at which Fe_3C first appears. Hypereutectoid means that the carbon content is above that of a eutectoid steel (in the sense that a hyperactive child has an above-normal activity!).

الشكل 5-4

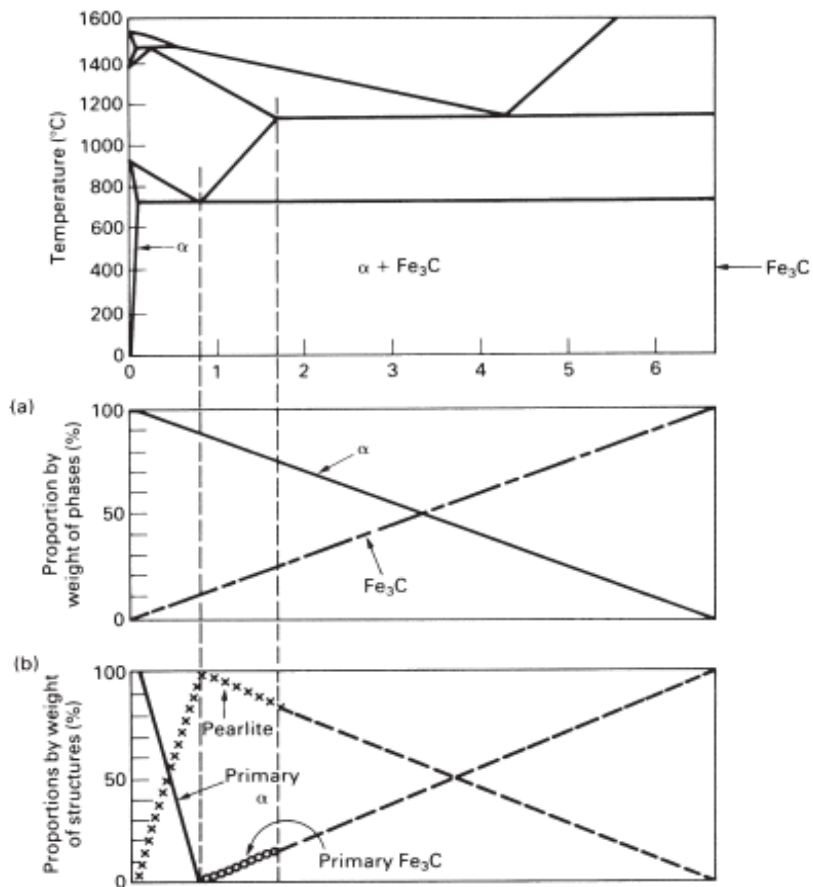
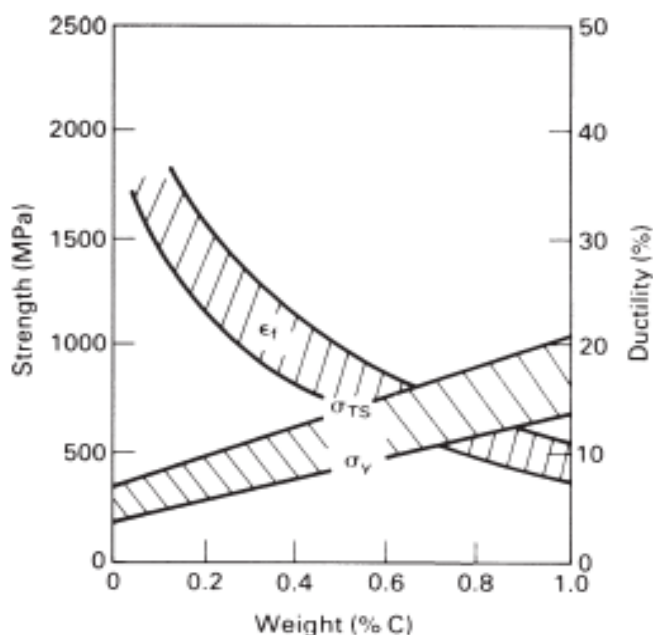


fig. (4-6) Room temperature microstructures in slowly cooled steels of different carbon contents. (a) The proportions by weight of the different phases. (b) The proportions by weight of the different structures.

الشكل 6-4

2.1.2. الخصائص الميكانيكية للفولاذ الكربوني:

الشكل (7-4) يوضح كيف تؤثر نسبة الكربون على الخصائص الميكانيكية للفولاذ الكربوني. حدود المرونة و مقاومة الشد تزداد خطيا مع تزايد نسبة الكربون، إذن Fe_3C يلعب دور التقسية، و نسبته هي دالة خطية بالنسبة لتركيز الكربون (شكل 7-4) من جهة أخرى اللدونة تتناقص بسرعة أين نسبة الكربون تزداد (شكل 7-4)، هذا لأن سطوح $Fe_3C-\alpha$ للبرليت هي عبارة عن مواقع للتشققات (التصدعات) السهلة (fissuration facile).



الشكل 7-4

2.2. الفولاذ الكربوني:

(تسمى فولاذ غير سبائكى، الفولاذ AFNOR) تحتوى على عناصر إضافية لا تتعدى النسب التالية:

P	S	P+S	Si	Mn	Si+Mn	Ni	Cr	Mo	V	W	Co	Al	Ti	Cu	Pb
0.12	0.10	0.2	0.1	1.2	2	0.5	0.25	0.10	0.05	0.30	0.30	0.30	0.30	0.30	0.10

ندعو فولاذ سبائكى كل مادة حديدية تحتوى على 1.9% أو أكثر من الكربون و تستطيع أن تحتوى على عناصر أخرى بنسب أقل أو تساوي ل:

- 15% من الفوسفور ← فولاذ فوسفوري fontes phosphoreuses
- 8% من السيليسيوم ← فولاذ سيليسيي fontes siliceuses
- 30% من المغنيز ← فولاذ فوسفوري fontes spiegels
- 40% من التنجستن ← فولاذ مسبك بالتنجستن fontes alliéès aux tungstene
- 30% من الكروم ← فولاذ مسبك بالكروم fontes alliéès aux chrome
- 10% مجموع من عناصر أخرى (Mo, V, S, Ti, Al, Cu, Ni)ss

3. حديد الزهر :les fontes

يطلق عموماً إسم حديد الزهر (fonte) على السبائك حديد-كربون، أين نسبة الكربون تتراوح بين 2.1 % إلى غاية 6.7%， تطبيقياً حديد الزهر يحتوي على حوالي 3 إلى 4% من الكربون، 92% حديد وباقي عناصر أخرى (سيليسيوم، مغنيز، فوسفور، سوفر)، كتقريب أولي حديد الزهر يمكن أن يعتبر كفولاذ يحتوي على زيادة من الكربون على شكل سمنتيت (حديد زهر أبيض) أو غرافيت (حديد زهر رمادي) وبالمقارنة مع الفولاذ حديد الزهر له خصائص ميكانيكية ضعيفة نسبياً، ويستعمل غالباً في السباكة (fondrie) بسبب:

- درجة حرارة تجمده واطئة نسبياً
- مجال تجمده صغير
- تقلصه الضعيف عند التبريد

العناصر المضافة لها تأثير أيضاً على نسب حديد الزهر و تسمح بإيجاد أنواع خاصة لحديد الزهر بمقاومة عالية:

○ السيليسيوم: حتى نسبة 3% هو العنصر المسؤول عن إيجاد حديد الزهر الرمادي (role graphitisant) بين 5 إلى 7 للسيليسيوم، نجد حديد زهر خاص بمصفوفة فيريتية (matrice feritique) بمقاومة جيدة حتى °C 800.

○ النحاس له أيضاً تأثير غرافيفي (graphitisant) في التجميد، ولكن فعاليته تساوي خمس فعالية السيليسيوم، وبالعكس، النحاس له دور ضد فريتي طافي (antiferitsant) في اثناء التبريد عند إجتياز المجال الأوتكتوидي، نهمل بهذا الشكل السمنتيت الحر (point très dus) و الفريت الحر (point douce) أفضل نسبة للنحاس من رتبة 1 إلى 2%.

- النikel يعتبر عنصر غرافيفي (graphitisant) جيد مقارنة مع النحاس و لكن قدرته ضد الفريتية مهملاً. الصفات المهمة لحديد الزهر هي كونه أكثر إنصهاراً و ميوعة من الفولاذ، و عموماً لا يعتبر لين و لا قاس (لا يكون لين قبل الانصهار).

1.3 أنواع حديد الزهر:

- #### 1.1.3 حديد الزهر الأبيض:
- يميز حديد الزهر الأبيض بنسبة كربون و سيلسيوم ضعيفة، و نسبة عالية من المنغنيز، مبدئياً حديد الزهر هذا لا يحتوي على الغرافيفيت (يكون مكان الكسر بهيئة معدنية بيضاء مما يبرهن إسمه). يتكون من البرليت (perlite) و السيمنتيت (cementite):

- حديد زهر هبط أوتكتيكي: ليديبوريت+برليت+سمنتيت (lèdèburite+perlite+cementite)
- حديد زهر فرط أوتكتيكي: ليديبوريت + سمنتيت أولي (I) (lèdèburite+ cementite I)

المميزات الفيزيائية المتوسطة لحديد الزهر الأبيض (fontes blanches brutes de coulée)

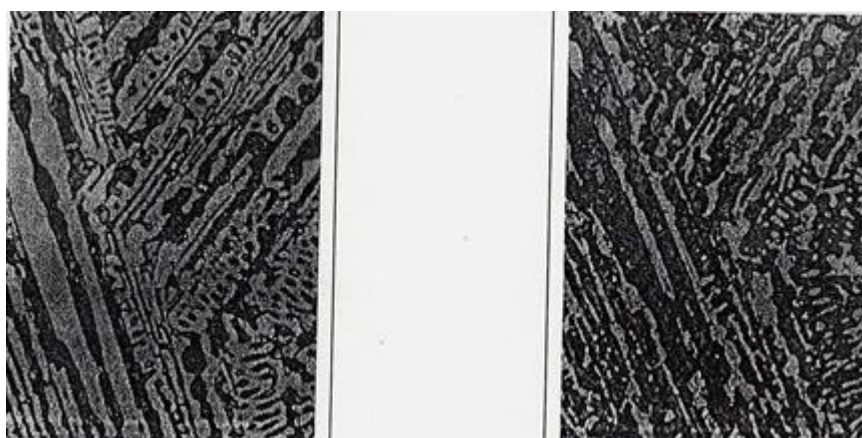
- كتلته الحجمية : $7.5-7.8 \text{ g/Cm}^3$
- معامل التمدد من 0 إلى $300 ^\circ\text{C}$: من 9 إلى 11.
- مقاومة كهربائية: $80 \mu\Omega \text{ cm}$
- مقاومة الشد: $(\text{N/mm}^2) 400 \leftarrow 200$
- مقاومة الكبس (الضغط): $(\text{N/mm}^2) 1800 \leftarrow 1500$
- مقاومة المرونة: $(\text{N/mm}^2) 183.000 \leftarrow 168.000$
- مقاومة الثنبي (الالتواز): $(\text{N/mm}^2) 750 \leftarrow 350$
- صلابة Brinell: $500 \leftarrow 300$
- التقلص الناتج عن القولبة (الصلب): $(\text{mm/m}) 21 \leftarrow 13$

و الأشكال: 4-8، 4-9 توضح البنية لحديد الزهر الأبيض الهبط اوتكتيكي و الفرط اوتكتيكي.

استخدامه: الأسطوانات المصفحة (صقالة الورق: Cylindre de laminoirs) فك المدق (machiares de concasseurs)، عجلة wagon...إلخ



الشكل 4-8 البنية المجهرية لحديد الزهر الأبيض الهبيط اوتكتيكي

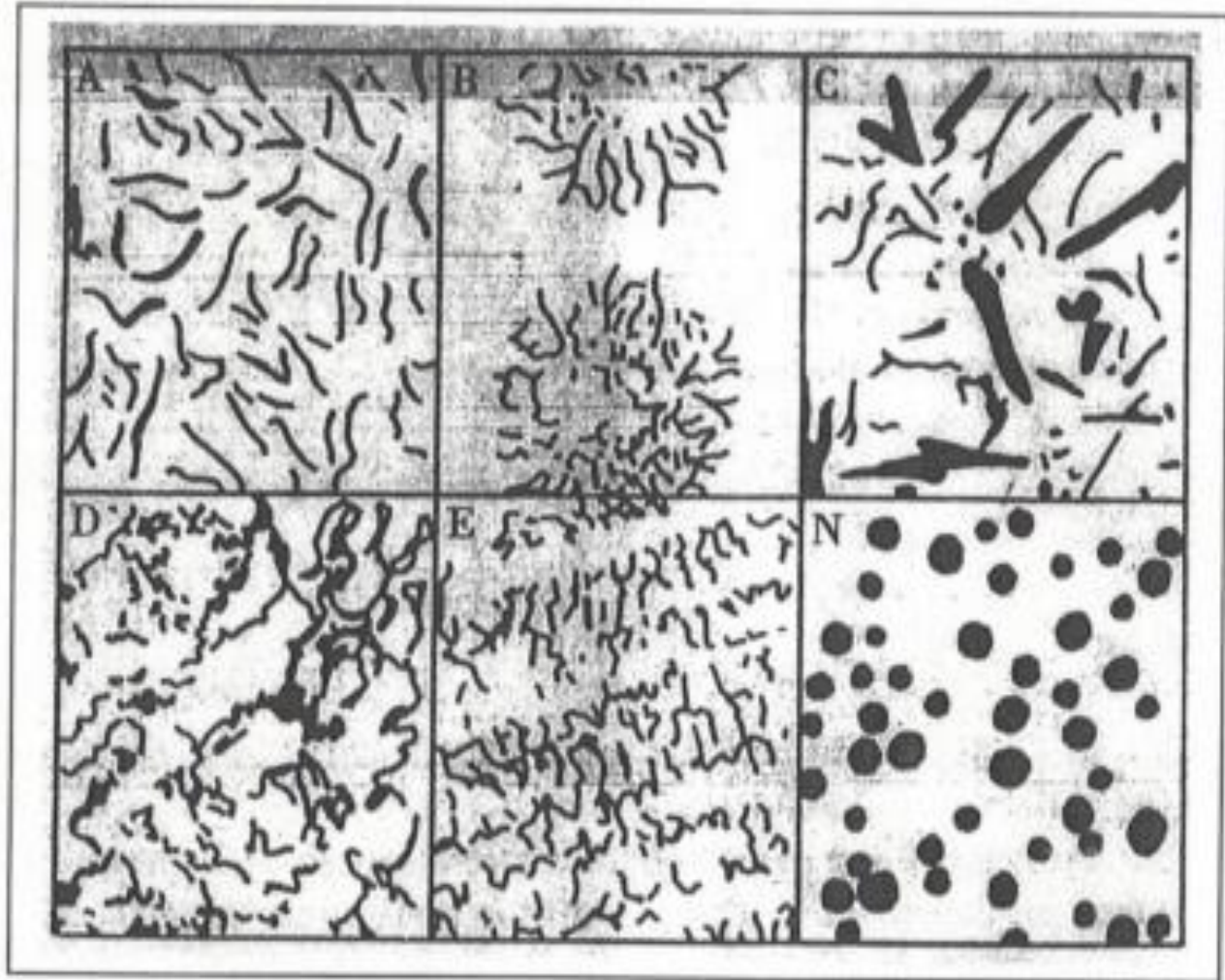


الشكل 4-9 البنية المجهرية لحديد الزهر الأبيض فرط اوتكتيكي

2.1.3. حديد الزهر الرمادي: مثل حديد الزهر الأبيض تسمية حديد الزهر الرمادي، كناية على لون مكان الكسر التي تكون رمادية بوجود الكربون الحر.

مبدياً: نسمى حديد زهر رمادي كل سبيكة تتجمد كلها في نظام مستقر، هذا يوافق أن التجميد يبدأ من النقطة 'C' (الموضحة في الفصل الأول: المخطط التام)، إذن حسب النظام المستقر، ولكن ينتقل بعد ذلك إلى نظام شبه مستقر مع تشكيل، الليديبوريت (lébèburite) في C. حديد الزهر الرمادي مثل، حديد الزهر الأبيض لهما عموماً خصائص ميكانيكية ضعيفة، خاصة الإسطالة و مقاومة الضغط الضعيفتين جداً، و هذا ناتج عن وجود السمنتيت الحر في حديد الزهر الأبيض إذن وجود صفائح (lamelles) الغرافيت في حديد الزهر الرمادي و هذه الصفائح موجهة في جميع إتجاهات الفضاء.

حسب أنواع الغرافيت سريع التأثر، و المترسب بسبب التجميد: الغرافيت الصفائحي (lamellaire) و الغرافيت الكروي شكل (10-4).



الشكل 10-4

-نوع A: غرافيت بصفائح موزعة بإنتظام و بإتجاهات غير مرتبة

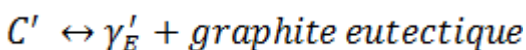
-نوع B: غرافيت بورايدات (en rodttes)، في إتجاهات غير مرتبة.

-نوع C: غرافيت يحتوي على صفائح مختلفة الحجم و غير مرتبة الإتجاهات

. نوع D: غرافيت graphire interdendrique

. نوع E: غرافيت graphire interdendrique d'orientation préviligée

بالنتيجة خصائص حديد الزهر الرمادي، تتغير في حدود عريضة جداً، في الواقع بنية هذه السبيكة معقدة جداً و تعرف بمكونات المصفوفة المعدنية (matrice métallique) و بأبعاد و شكل و توزيع جسيمات الغرافيت. في حالة حديد زهر رمادي هبط أوكتوكريدي هناك قبل كل شيء راسب من الألوستنیت الأولى، ثم في 1135°C التفاعل الأوكتکنی:



و في الواقع آلية التجمد أكثر تعقيدا، يظهر السمنتيت الأوتكتيكي و الذي يتفكك بعد ذلك. من 1135 إلى °C 738. يتجمد الكربون في الأستنـيت. و هناك طرد للكربون على شكل غرافيت ثانوي أو سمنتـيت ثانوي و الذي يستطيع أن يتفكك جزئيا.

غالبا ظاهرة إبعاد (طرد) الكربون لاتتم حتى 738°C و بالمثل تتوقف ظواهر تفكاك السمنتيت الأوليكتيكي.. كل هذه الظواهر تتم بحركات بطئية طالما درجة الحرارة منخفضة.

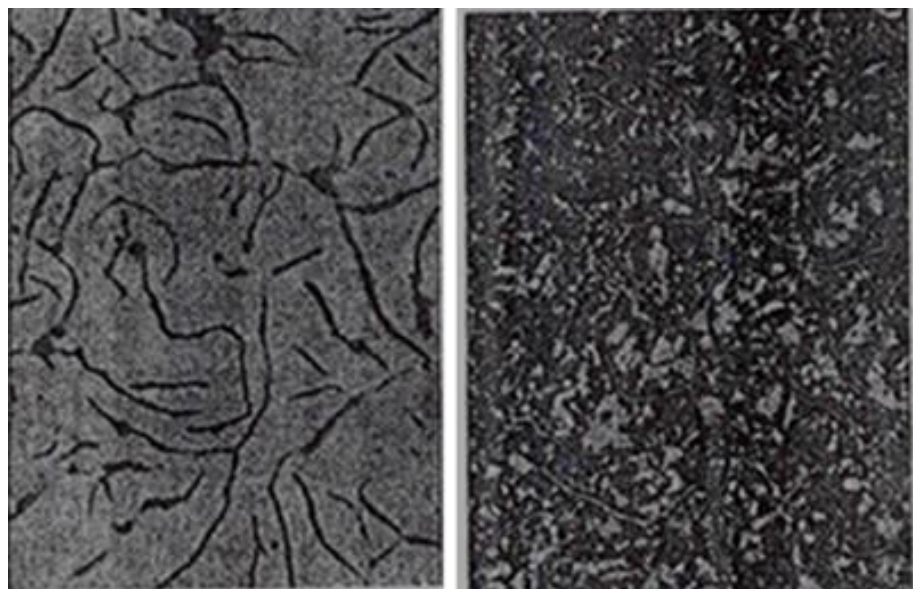
من خالل كل هذا، إذا كان هناك إنتقال من بيان $\text{Fe}-\text{C}$ إلى بيان $\text{Fe}-\text{Fe}_3\text{C}$ ، التفكك ممكن أن يستنتج من يمين أو من يسار النقطة الأوتكتوبية S.

اللحظة: فوسفور الحديد (phosphure de fer) Fe_3P يمكن أن يتربس عند تجميد حديد الزهر عندما تكون نسبة الفوسفور (phosphore) أكبر من 0.07% (تبديد سريع). هذا المركب دائمًا مرئي، حينما تتجاوز نسبة الفوسفور القيمة 0.2% فوسفور الحديد هذا يكون مصحوب بالسمنتيت غالباً. و هذين الطورين يشكلان مع الأوستنـيت خليط أوتكـتيكي ثالثـي بنقطـة إنـصهـار واطـئة تدعـى Steadite. لأشـكـالـ: 11-4 و 12-4 توضـح بعض البـنى المـجـهـرـية لـحـدـيد زـهـر رـمـاديـ. الخـصـائـص المـيكـانـيكـية لـحـدـيد الزـهـر الرـمـاديـ تـنـعـلـقـ و بـقـدرـ كـبـيرـ بـكمـيـةـ و بشـكـلـ الغـرافـيتـ.

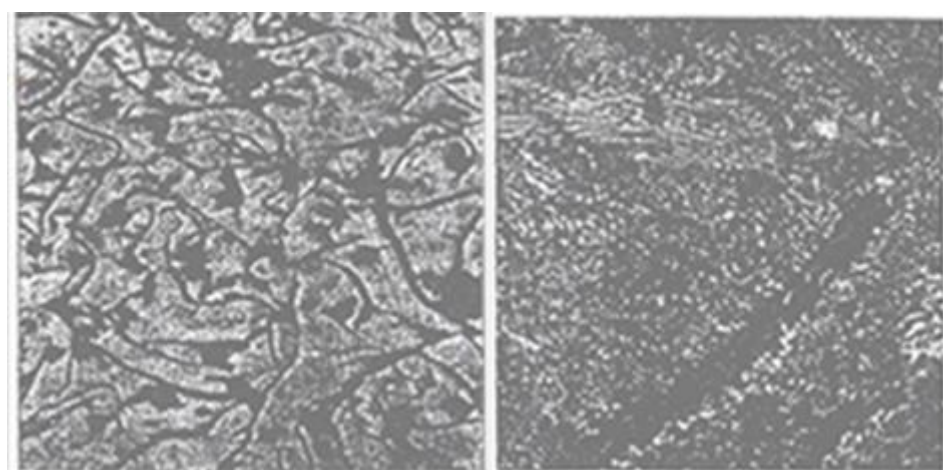
3.1.3. حديد الزهر الأرقش :la fonte truitée

يمكن الحصول عليه بالإنتقال من بيان الغرافيت إلى بيان السمنتيت عند التجميد. إذن هو عبارة عن مزيج من حديد الزهر الأبيض و حديد الزهر الرمادي، يتميز بوجود الغرافيت و السمنتيت الأولى في آن واحد أو الغرافيت و السمنتيت الأوتكتيكي).

4.1.3 حديد الزهر ذو الغرافيت المتكور: لقد قلنا أن حديد الزهر الرمادي سريع الكسر بسبب المقاومة الضعيفة للغرافيت الصفائي الذي يتشكل منه. و كذلك من أجل تحسين المقاومة الميكانيكية لحديد الزهر الرمادي، نضيف عناصر مثل: Mn, Cr, Ni أو نبحث لتحسين تأثير الغرافيت لنحصل على بنية بغرافيت متكور.



الشكل 11-4



الشكل 12-4

- في 1946: (Morrogh et Williams) و جدا وسيلة لتغيير بنية الغرافيت المترسب، نتيجة تجمد حديد الزهر الرمادي بفعل السريوم (cerium) المضاف إلى السبيكة السائلة.
- في 1947: (Millis Gagebin) و آخرين استعملوا المغنزيوم (Magnesium) بإضافته إلى حديد الزهر السائل بواسطة سبيكة (نيكل-مغنزيوم) و هي نفسها الطريقة المستعملة اليوم.

- يحتوي حديد الزهر هذا على: 3.2% ← 3.6% كربون

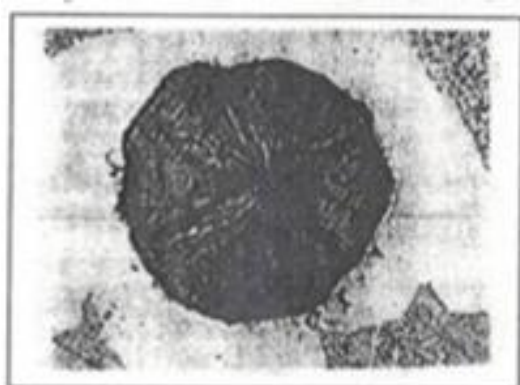
1.8 ← 3% سيلسيوم.

0.3 ← 0.4% مغنزيوم.

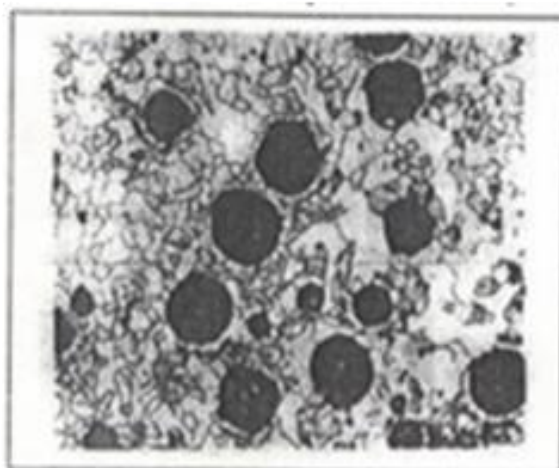
0.05 % فوسفور.

إدخال السيلسيوم (حتى 3 % تقريبا) يزيد من القدر الغرافيتية لحديد الزهر السائل و كذلك المغنزيوم (حتى 0.07 % تقريبا) يلعب دور كابت (مانع) لمدة قصيرة يؤخر التشكّل الأولى للغرافيت.

في حال حديد الزهر ذو الغرافيت المتکور يعطى بنية برليتية، فيريتية، أو سمنتیت حر. تتميز بمقاومة ميكانيكية و صلابة أكبر بكثير منها لحديد الزهر الرمادي المألف (الشكل 13-4 و الشكل 14-4).



الشكل 13-4



الشكل 14-4

الخاتمة

يقول سبحانه و تعالى: ...**وأنزلنا الحديد فيه بأس شديد و منافع للناس**... ~ الآية 25 من سورة الحديد

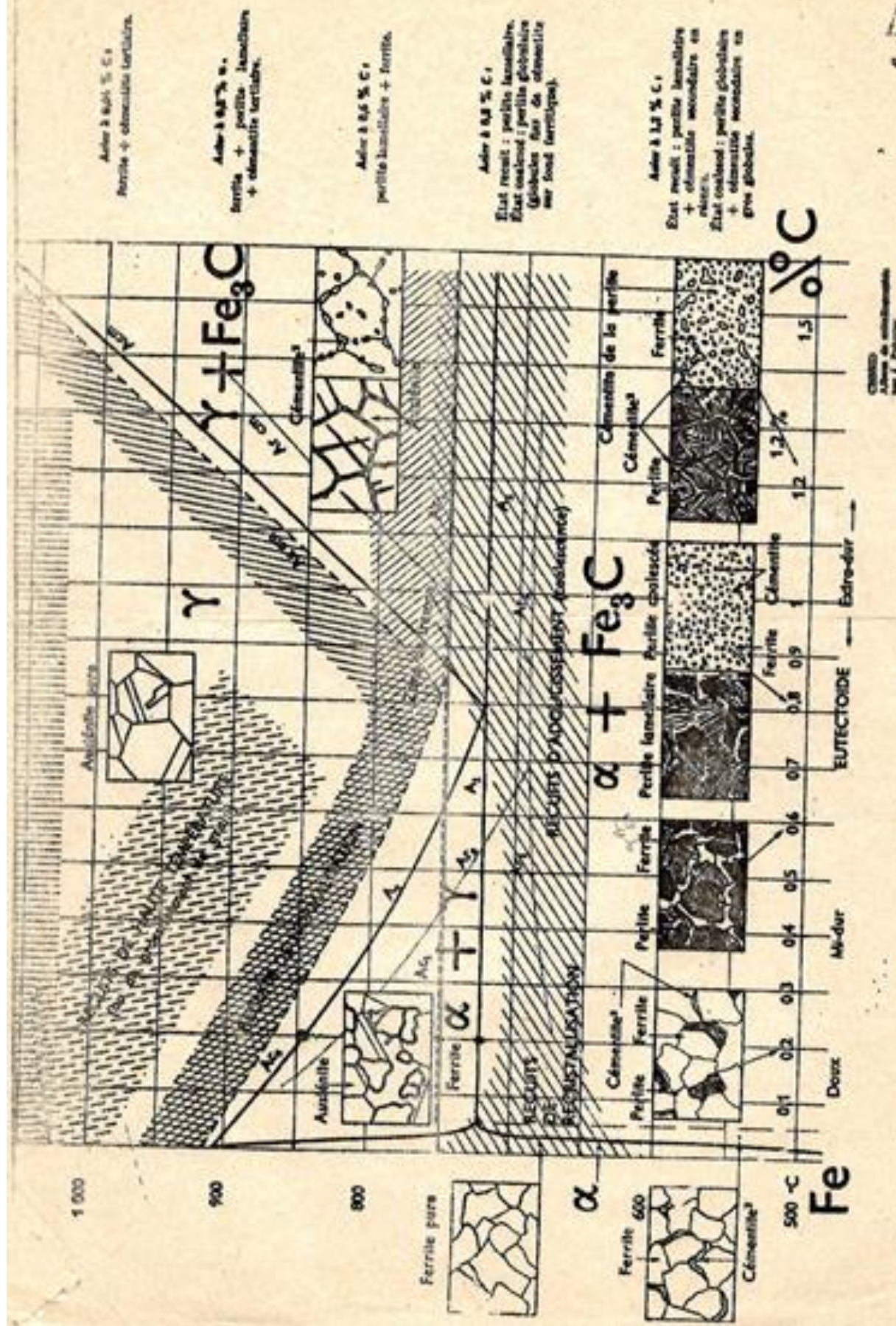
فهذه الآية دليل على مقاومة هذا المعدن الجيدة، إذا رأينا في الفصل الأول أنه يمكن الحصول على هذا المعدن بنقاوة تقارب 99.99%， ولكي نضفي على هذا العنصر خصائص ميكانيكية معروفة نضيف له عناصر معدنية (Al, Ni, Si...) أو غير معدنية (C, N, O, ...)، ويعتبر الكربون واحداً من هذه العناصر، فهو بدوره العنصر الأقل تكلفة، والأكثر فعالية لتقسيمة الحديد.

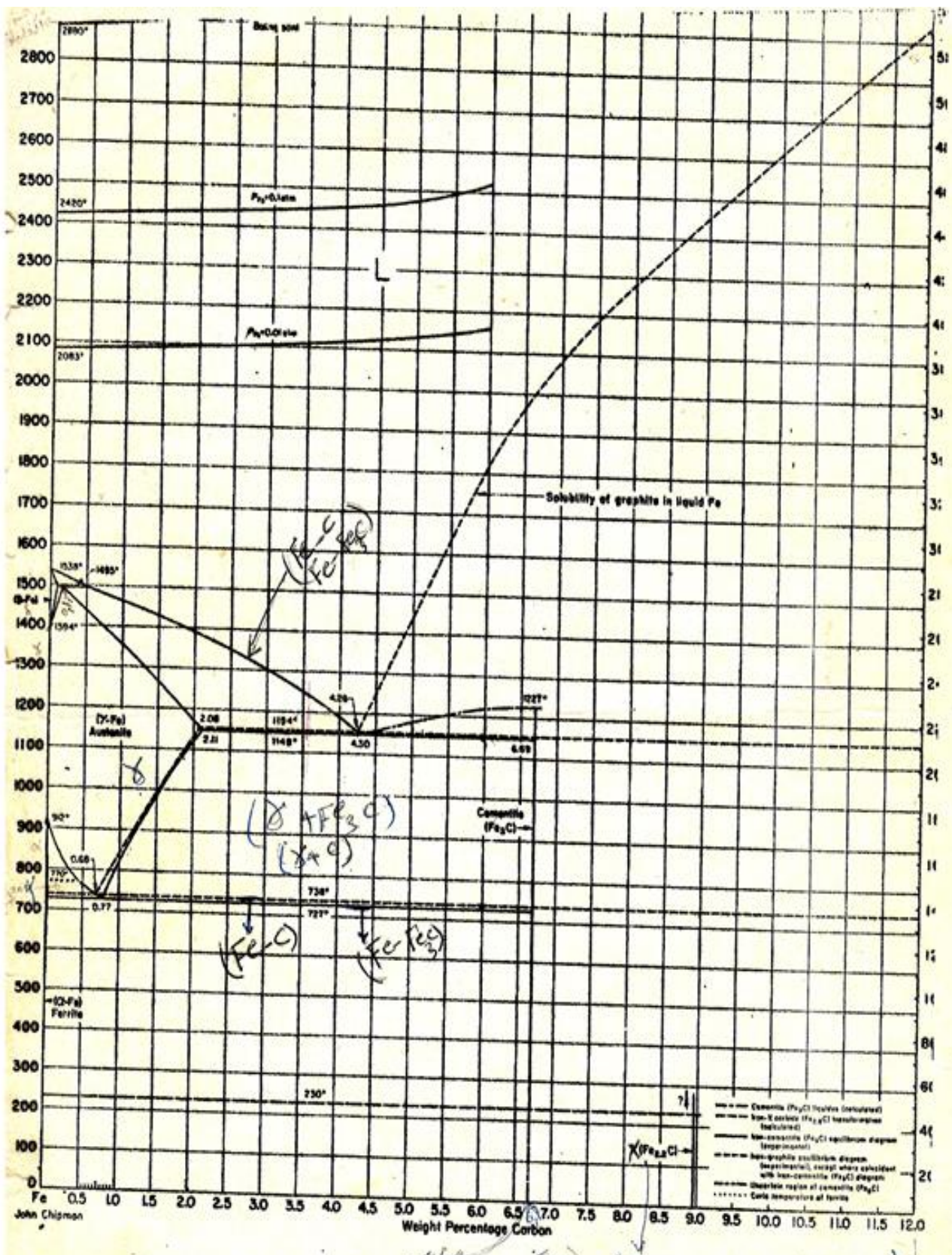
فُلِدَ حاولنا في هذا البحث تسليط الضوء على سبائك حديد-كربون محاولة إبراز خصائصها الميكانيكية والفيزيائية، و مجالات إستعمالها. و لقد رأينا أن الكربون ينغرس في الحديد بنسب متغيرة و تغير هذه النسب يعطى لنا بطبيعة الحال تغيرا في الخصائص الميكانيكية و الفيزيوكيميائية، و بما أن حالات نادرة الورق، لذلك قمنا باستعمال المركب Fe_3C (السمنتيت) هذا المركب شبه المستقر الذي سرعان ما يتتحول إلى حديد + كربون عند رفع درجة الحرارة و رأينا أنه يمكن التمييز بين قسمين مهمين لهذا النظام، هما الفولاذ و حديد الزهر.

الفولاذ و هي السبانك التي يكون فيها تركيز الكربون أقل من 2.1%، حيث أظهرت نتائج المعالجة الحرارية، (التبريد البطيء) أنه يمكن ملاحظة طبقات متباينة من الفريت و السمنتيت و التي تسمى برليت، فمن أجل تبريد بطئ لفولاذ فرط أو تكتوидي. و الذي يكون على شكل سمنتيت في الحدود الحبيبية للأوستينيت يظهر البرليت مباشرة عند درجة حرارة الأوتكتويد. و في حالة فواليد هبط أو تكتويدية، و التي تكون على شكل فريت في الحدود الحبيبية للبرليت، مما يثبت صلابة هذه الفواليد.

أما القسم الثاني أي حديد الزهر و التي تحتوي على حوالي أكبر من 2.1 % كربون و هذا ما يسمح بالحصول على سبائك أو تكتيكية تميز الخصائص المهمة و الملائمة للقولبة للقطع الأكثر تعقيدا. حيث لاحظنا أنه يمكن تقسيمها إلى عدة أنواع: حديد زهر أبيض، حديد زهر رمادي، حديد زهر أرقش، حديد زهر ذو الغرافيت المتكرر، حديد الزهر اللين.

Figure 4 : ACIERS AU CARBONE
 POINTS DE TRANSFORMATION.





(النفخة) (Inhalation) (Féle) (Exhalation) (Féle) (أدخان) (أهتزاز)

المراجع:

1. Technique de l'ingénieur- Métallurgie :M-70.
2. Métallurgie (Tome 1) : Chaussin-Hilly.
3. Précis de Métallurgie : Barralis, Maeder.
4. Matériaux (matériaux métallique) (Tome 1) :Nouredine- Bouaouadja.
5. Métallurgie structurale : Bouchy, Gobin.
6. Matériaux : Michel . F, Ashby-Dvid, RH. Jounes.
7. مدخل في علم المعادن: زغدة العروق
8. Métallurgie de fonderie (Tome 2) : Michel Geier.
9. Reed-Hill, R. E. and Abbaschian, R., (1994), Physical Metallurgy Principles, 3rd edition, PWS Publishing Co.
10. Krauss G., [1981], Steel: Heat Treatment and Processing Principles, Am. Soc. of Metals.
11. ASM Handbook, [1990], Heat Treatment, Volume 4.
12. Smith W. F., [1993], Structure and Properties of Engineering Alloys, International (2nd) edition, McGraw-Hill.
13. Callister Jr., W. D., (2002), Materials Science and Engineering An Introduction, 5th edition, John Wiley & Sons.